



พฤษิตกรรมการเปลี่ยนแปลงกำลังรับแรงเมื่อcontentความชื้นของดินที่ผู้ถลายอยู่กับที่
ของกลุ่มหินที่มีความอ่อนไหวต่อคิดินคลุ่มในประเทศไทย

**Shear Strength-Moisture Behavior of Residual Soils
of Landslide Sensitive Rocks Group in Thailand**

สุทธิศักดิ์ ศรลัมพ์ (SUTTISAK SORALUMP)¹

วรวัชร์ โตวิวัฒน์ (WORAWAT THOWIWAT)²

¹ผู้ช่วยศาสตราจารย์ (Soralump_s@yahoo.com) ²วิศวกรปฐพี (w_thowiwat@yahoo.com)

ศูนย์วิจัยและพัฒนาวิศวกรรมปฐพีและฐานราก ภาควิชาวิศวกรรมโยธา มหาวิทยาลัยเกษตรศาสตร์

บทคัดย่อ : พฤษิตกรรมการเปลี่ยนแปลงกำลังรับแรงเมื่อcontentความชื้นที่เปลี่ยนไป เป็นปัจจัยสำคัญต่อการศึกษาเพื่อกำหนดเกณฑ์การเตือนภัยคิดินคลุ่มด้วยความชื้นในมวลดินหรืออิกนัยหนึ่งคือ ปริมาณน้ำฝนที่ซึมลงสู่ชั้นดิน การศึกษาดำเนินการโดยการเก็บตัวอย่างดินไม่ถูกรบกวนจำนวน 696 ตัวอย่างครอบคลุมกลุ่มหินที่อ่อนไหวต่อการเกิดคิดินคลุ่มจำนวน 8 กลุ่มทั่วประเทศ ตัวอย่างดินไม่ถูกรบกวนได้นำมาทำการทดสอบกำลังรับแรงเมื่อcontent แบบ KU-MDS Shear ซึ่งทำการทดสอบแบบเปลี่ยนแปลงความชื้นตามระดับความอิ่มตัวของดินด้วยกัน 3 ช่วง คือ ระดับความอิ่มตัวร้อยละ 60, 80 และ 100 แล้วทำการวิเคราะห์ความสัมพันธ์ในระบบ 3 แกน ตามประเภทของกลุ่มหิน จากนั้นจึงนำสมการควบคุณในลักษณะสมการระบุแนวของความสัมพันธ์ดังกล่าว ไปวิเคราะห์ความมั่นคงของลักษณะเพื่อใช้เป็นแบบจำลองกำลังรับแรงเมื่อcontentของดินในการคำนวณหาค่า API_{cr} สำหรับการเตือนภัยคิดินคลุ่มในแต่ละพื้นที่ นอกจากนี้ยังสามารถนำตัวแปรกำลังรับแรงเมื่อcontentไปใช้สำหรับการออกแบบทางระบบน้ำวิศวกรรมบนดินที่ผู้ถลายอยู่กับที่

ABSTRACT : Shear strength behavior of residual soils at various water contents plays an important role on developing the warning criterion by water content or infiltrated water. The undisturbed sample of 696 samples were collected base on representative of 8 rocks group which sensitive to landslide. Shear strength parameters are obtained by KU-MDS Shear Test which testing by varies degree of saturation, S_r in 3 levels : 60%, 80% and 100%. The test result shows a relationship in triaxis system of σ', τ and S_r. The relationship can be used for modeling shear strength of soil and determining the API_{cr} for landslide warning. Furthermore, the residual soil strength parameters can be used for geotechnical engineering design.

KEYWORDS : Landslide, Shear Strength Testing, Unsaturated Soil, Critical API

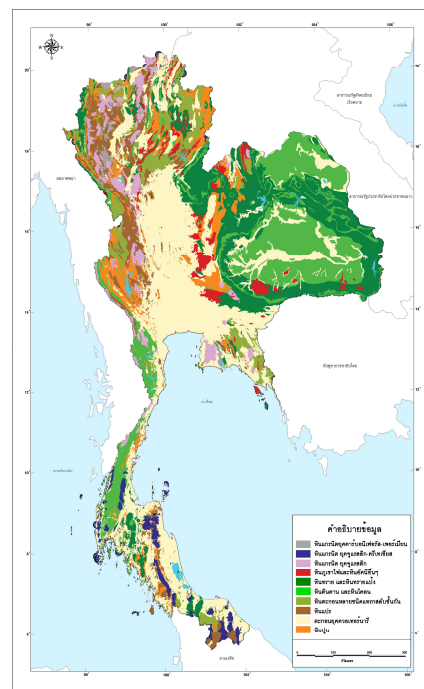


1. บทนำ

การศึกษาพฤติกรรมการเปลี่ยนแปลงค่ากำลังรับแรงเฉือนของดินเมื่อความชื้นในดินเพิ่มขึ้นจะเป็นรากฐานในการกำหนดค่าความชื้นวิกฤติหรือปริมาณฝนวิกฤติที่ใช้ในการเดือนกับดินกลุ่ม รวมถึงเป็นค่าที่ใช้ในการตัดสินใจออกแบบโครงสร้างทางวิศวกรรมในสภาพที่ดินไม่อิ่มน้ำ (Unsaturated Soil) การศึกษาในบทความนี้จึงมุ่งเน้นการศึกษาคุณสมบัติคังกล่าวโดยได้ดำเนินการรวบรวมข้อมูล เก็บตัวอย่างและทดสอบตัวอย่างในห้องปฏิบัติการ โดยมุ่งหวังจะศึกษาคุณสมบัติทางวิศวกรรมของดินที่ผุพังจากหินกลุ่มต่างๆ ทั่วประเทศไทย

2. กลุ่มหินทางธรณีวิทยา

สุทธิศักดิ์และคณะ (2550) ได้ศึกษาคุณสมบัติของดินที่ผุสลายจากหินแต่ละชุดตามลักษณะธรณีวิทยาของประเทศไทย เพื่อนำคุณสมบัติที่ได้มาทำการจัดกลุ่มชุดหินที่มีความหมายทางวิศวกรรม โดยได้จำแนกกลุ่มหินตามความอ่อนไหวต่อการเกิดดินคลุ่ม ได้เป็น 8 กลุ่ม ทั้งนี้เนื่องจากชุดหินในประเทศไทยมีจำนวน 61 ชุด การศึกษาคุณสมบัติทางวิศวกรรมของทุกชุดหิน จึงเป็นเรื่องที่ต้องใช้เวลามาก ดังนั้น จึงต้องทำการจัดกลุ่มของชุดหิน (1 กลุ่มประกอบด้วยหลายชุดหิน) โดยรวมชุดหินที่มีผุสลายจะมีคุณสมบัติของดินทางกายภาพใกล้เคียงกันให้อยู่ในกลุ่มเดียวกัน อย่างไรก็ตามจากการศึกษาดังกล่าวบ่งชี้ว่า กลุ่มหินทางธรณีวิทยานางกลุ่มยังให้ประเภทดินทางวิศวกรรมเมื่อผุสลายแล้วแตกต่างกันมาก ดังนั้นในงานศึกษานี้จึงได้ดำเนินการแบ่งกลุ่มใหม่เพื่อให้ได้กลุ่มหินที่มีผุสลายแล้วจะให้ลักษณะดินที่มีคุณสมบัติทางวิศวกรรมใกล้เคียงกัน ผลจากการจัดกลุ่มใหม่ดังกล่าววนี้ สามารถจำแนกลักษณะทางธรณีวิทยาที่สำคัญที่เกี่ยวเนื่องกับการวิเคราะห์ดินคลุ่ม ได้ออกเป็น 10 กลุ่ม ดังภาพที่ 1 โดยกลุ่มที่ 1 คือ หินแกรนิตยุคการบ้อนิเฟอร์ส-เพอร์เมียน กลุ่มที่ 2 คือ หินแกรนิตยุคจูแรสติก-คริเทเชียส กลุ่มที่ 3 คือ หินแกรนิตยุคจูแรสติก กลุ่มที่ 4 คือ หินภูเขาไฟและหินอัคนีอื่นๆ กลุ่มที่ 5 คือ หินทรายและหินทรายแม่น้ำ กลุ่มที่ 6 คือ หินดินดาน และหินโคลน กลุ่มที่ 7 คือ หินตะกอนหินยานิดแทรกสลับชั้นกัน กลุ่มที่ 8 คือ หินแปร กลุ่มที่ 9 คือ หินตะกอนยุคหินอุทิร์นารี และกลุ่มที่ 10 คือ หินปูน ตามลำดับ



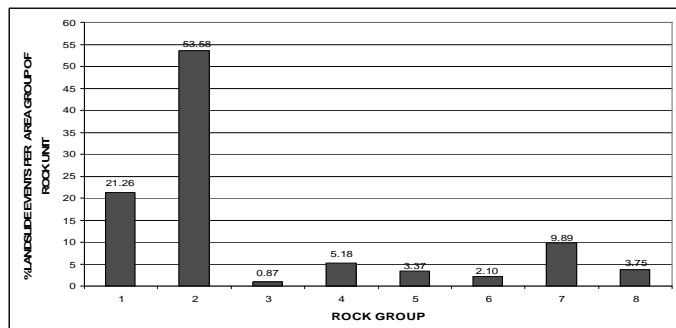
ภาพที่ 1 กลุ่มหินทางธรณีวิทยาจำแนกตามคุณสมบัติทางวิศวกรรมของดินที่ผุสลายจากหินกลุ่มนี้ๆ

3. การดำเนินงาน

ตัวอย่างดินแบบถูกกรองกวนและไม่ถูกกรองกวน ได้ถูกเก็บโดยศูนย์วิจัยป่าไม้ คณะกรรมการศาสตร์ มหาวิทยาลัยเกษตรศาสตร์ ภายใต้โครงการกำหนดค่าดัชนีความชุ่มชื้นของดิน (Antecedent Precipitation Index : API) เพื่อสนับสนุนการเดือนภัยล่วงหน้า ทั่วโลก – ดินคลุ่ม ของกรมทรัพยากรน้ำ โดยเก็บตัวอย่างให้ครอบคลุมกลุ่มหินจำนวน 8 กลุ่ม จากทั้งหมด 10 กลุ่ม โดยกลุ่มของตะกอนชุดหินเทอร์นารีและกลุ่มหินปูน เป็นกลุ่มหินที่มีโอกาสการเกิดดินคลุ่มต่ำจึงไม่นำมาพิจารณา นอกจากนี้ซึ่งได้เลือกเก็บตัวอย่างในหมู่บ้านเสียงภัยดินคลุ่มประจำการโดยกรมทรัพยากรน้ำและเป็นหมู่บ้านที่อยู่ในพื้นที่ลาดชันเกิน 10 องศา การคัดเลือกดังกล่าวดำเนินการโดยการใช้ระบบสารสนเทศภูมิศาสตร์ ซึ่งโดยสรุปแล้วได้เก็บตัวอย่างจาก 121 หมู่บ้าน เป็นตัวอย่างแบบไม่ถูกกรองกวนจำนวน 484 ตัวอย่าง โดยจำนวนตัวอย่างที่เก็บต่อกลุ่มหินได้พิจารณาจากสถิติความถี่การเกิดดินคลุ่มตามกลุ่มหินต่างๆ รวมรวมโดย สุทธิศักดิ์และคณะ(2550) (ภาพที่ 2) โดยกลุ่มหินที่มีสถิติความถี่การเกิดดินคลุ่มมากจะเก็บตัวอย่างจำนวนมาก เช่นเดียวกัน การเก็บตัวอย่างดินที่ผุสลายจากหินกลุ่มต่างๆ ดำเนินการโดยการขุดบ่อสำรวจ (Test Pit) ลงไปถึงชั้นหินที่มีระดับความผุพังประมาณระดับ 3 ตามมาตรฐาน



การจำแนกความผุพังของหิน (Waltham, 1994) ตัวอย่างจะถูกเก็บบริเวณรอยต่อระหว่างหินที่ผุพังระดับ 3 และระดับ 4 หันนี้เนื่องจากมีสมมุติฐานว่า รอยต่อดังกล่าวเป็นรูปแบบของการพิบัติแบบลาดอนันต์ นอกจักตัวอย่างจากโครงการกำหนดค่าดังนี้ ความชื้นชี้นของดินฯ ผู้ศึกษาจึงได้รับอนุเคราะห์ข้อมูลจากการทรัพยากรัฐวิณัยในโครงการศึกษาทางแนวทางการป้องกันและลดผลกระทบจากภัยดินถล่ม 6 จังหวัดภาคใต้ของกรมทรัพยากรัฐวิณัย และตัวอย่างจากการศึกษาวิจัยด้านวิศวกรรมดินถล่มของศูนย์วิจัยและพัฒนาวิศวกรรมปฐพีและฐานราก คณะวิศวกรรมศาสตร์ มหาวิทยาลัยเกษตรศาสตร์ ทำให้มีข้อมูลและตัวอย่างเพื่อการทดสอบจำนวน 696 ตัวอย่างครอบคลุมกลุ่มหินจำนวน 8 กลุ่มดังที่กล่าวมา ตัวอย่างได้นำมาทดสอบคุณสมบัติทางกายภาพและทางวิศวกรรมในห้องปฏิบัติการ ซึ่งโดยสรุปได้มีจำนวนการทดสอบ แสดงดังตารางที่ 1



ภาพที่ 2 ร้อยละการเกิดถล่มในอัตติเดลี่ต่อพื้นที่ชุดหินกลุ่มที่ 1 ถึงกลุ่มที่ 8 ตั้งแต่ปี พ.ศ. 2513-2552 (ปรับปรุงข้อมูลจาก สุทธิศักดิ์ และคณะ(2550))

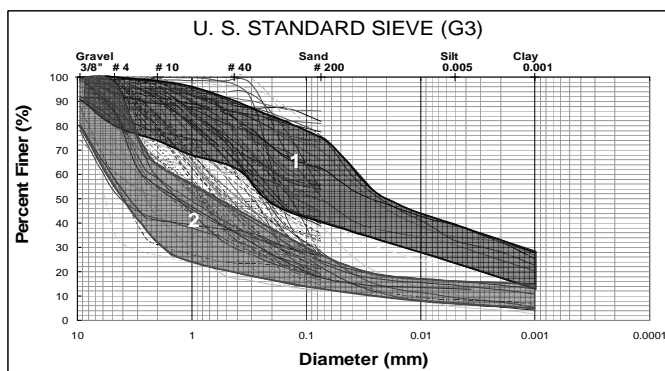
4. คุณสมบัติทางกายภาพ

ผลการทดสอบคุณสมบัติทางกายภาพของดินที่ผุสลายอยู่กับหินทั้ง 8 กลุ่ม โดยจากการทดสอบ Grain size distribution, Atterberg's Limits และจำแนกประเภทของดินทางวิศวกรรมตาม Unified Soil Classification System พบว่ารูปแบบการกระจายตัวของเม็ดดินมี 2 ลักษณะดังภาพที่ 3 อันได้แก่ ลักษณะที่ 1 การกระจายตัวเป็นลักษณะ Well Grade ซึ่งเม็ดดินทั้งขนาดเม็ดหินและเม็ดละเอียดผสมผสานกันและลักษณะที่ 2 คือดินที่มีร้อยละของเม็ดดินขนาดหินมากกว่าเม็ดละเอียดอย่าง

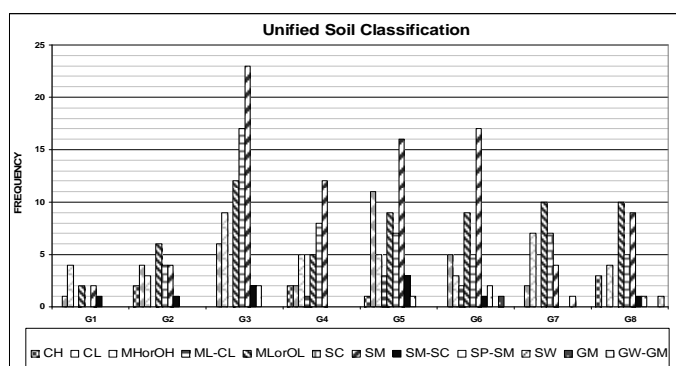
เห็นได้ชัด หันนี้คาดว่าลักษณะการกระจายตัวดังกล่าวเกี่ยวข้องกับการพัฒนาของดินเม็ดละเอียดจากการไอลเซ็มผ่านของน้ำฝนลงสู่ดินชั้นล่าง สำหรับผลการจำแนกประเภทของดิน พบว่าดินที่ผุสลายอยู่กับหินที่จากกลุ่มที่ 3, 4, 5 และกลุ่มที่ 6 เมื่อผุพังจะให้ดินประเภท SM สำหรับกลุ่มที่ 2 และกลุ่มหินที่ 7 จำแนกได้เป็น ML or OL ส่วนกลุ่มที่ 8 จำแนกได้ 2 ประเภทใหญ่ๆ คือ ML or OL และ SM แต่สำหรับกลุ่มที่ 1 ไม่สามารถสรุปชนิดดินได้ชัดเจน ดังผลการจำแนกประเภทของดินทั้ง 8 กลุ่มตามภาพที่ 4

ตารางที่ 1 จำนวนตัวอย่างการทดสอบคุณสมบัติทางกายภาพและทางวิศวกรรมในห้องปฏิบัติการ

การทดสอบ	จำนวนตัวอย่าง
(ชุดตัวอย่าง)	
Strength Reduction Index (SRI)	47
KU-Multistage Direct Shear Test (KU-MDS Test)	127
Atterberg's Limits	531
Grain Size Analysis	535
Soil Classification (USCS)	514



ภาพที่ 3 ตัวอย่างลักษณะการกระจายตัวของเม็ดดินของหินที่ผุพังจากหินกลุ่มที่ 3



ภาพที่ 4 การจำแนกประเภทของดินที่ผุสลายจากหิน 8 กลุ่ม

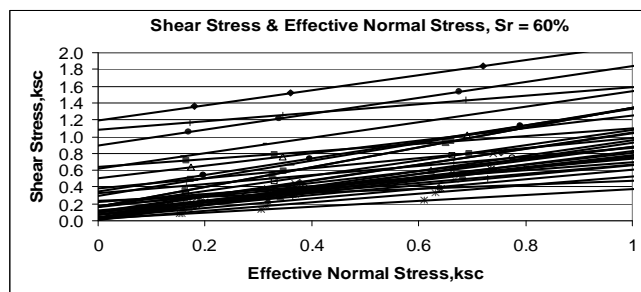


5. พฤติกรรมการเปลี่ยนแปลงกำลังรับแรงเฉือนเมื่อความชื้นเปลี่ยนไป

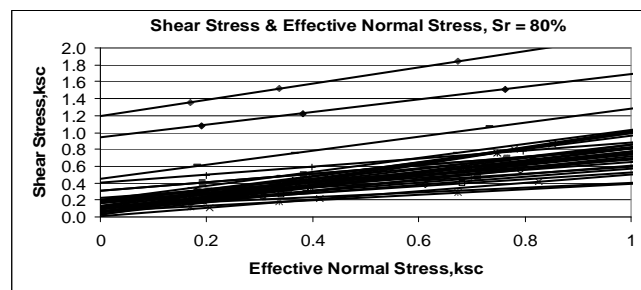
พฤติกรรมการเปลี่ยนแปลงกำลังรับแรงเฉือนของดินที่ผุสลายอยู่กับที่จากหินกลุ่มต่างๆ ได้ทำการศึกษาโดยการทดสอบ Direct Shear ประเภท KU-MDS Shear Test (นง-ลักษณ์, 2546 และ บรรพต, 2548) ซึ่งรายละเอียดได้อธิบายโดย สุทธิ-ศักดิ์และ คณะ (2550) การทดสอบดำเนินการกับตัวอย่างที่ไม่ถูกรบกวนจากทั่วประเทศ จำนวน 127 ชุดตัวอย่างหรือทดสอบตัวอย่างทั้งสิ้น 307 ตัวอย่าง โดยตัวอย่างได้ถูกนำมาปรับความชื้นให้ได้ความอิ่มตัวที่ร้อยละ 60, 80 และ 100 โดยประมาณ การเนื่องตัวอย่างดำเนินการในลักษณะการเฉือนแบบระบายน้ำ (Drained) อัตราการเนื่องตัวอย่างวิเคราะห์จากอัตราการทรุดตัวในช่วงการ Consolidate ตัวอย่างก่อนการเนื่องตัวอย่าง รายละเอียดอธิบายใน Head (1981)

ผลการทดสอบได้แสดงความสัมพันธ์ระหว่างกำลังรับแรงเฉือนของดิน (Shear Stress) กับแรงดันดินกดทับประสิทธิพล (Effective Normal Stress) ของแต่ละระดับความอิ่มตัว โดยพบว่า เมื่อระดับความอิ่มตัวของดินสูงขึ้นกำลังรับแรงเฉือนของดินจะมีค่าลดลงตามที่ควรจะเป็นและจะสังเกตุได้ว่าค่ามุมเสียดทานภัย (Friction angle, ϕ') ของดินมีค่าค่อนข้างคงที่แต่ค่าความเชื่อมแน่นของดิน (Cohesion, c') มีค่าลดลงอย่างมากเมื่อระดับความอิ่มตัวของดินเพิ่มสูงขึ้น ตัวอย่างผลการทดสอบของดินที่ผุสลายอยู่กับที่จากหินกลุ่มที่ 3 แสดงดังภาพที่ 5 จากภาพดังกล่าวจะเห็นได้ชัดว่าเมื่อร้อยละความอิ่มตัวในมวลดินเพิ่มมากขึ้น ความแปรปรวนของค่า Cohesion (c') จะลดลงอย่างมากโดยสังเกตุได้จากการแก้กลุ่มกันของเส้น Failure Criterion ภาพที่ 6 แสดงความสัมพันธ์ระหว่างค่า c' และ ϕ' จากดินที่ผุสลายอยู่กับที่จากหินกลุ่มดังกล่าวซึ่งได้แสดงให้เห็นชัดเจนมากขึ้นถึงอิทธิพลของความชื้นที่มีผลต่อค่า Cohesion (c') ซึ่งทำให้มีช่วงความแปรปรวนกว้าง ในขณะที่ค่า ϕ' จะกระจายตัวอยู่ในช่วงจำกัดนอกจากนี้ เมื่อพิจารณาพฤติกรรมการลดลงของค่ากำลังรับแรงเฉือนเมื่อความชื้นเพิ่มขึ้น พบว่าพฤติกรรมการลดลงของกำลังรับแรงเฉือนมี 2 ลักษณะ ได้แก่ การลดลงในอัตราค่อนข้างจะคงที่ตามความชื้นและการลดลงอย่างรวดเร็วเมื่อความชื้นถึงค่าระดับหนึ่ง พฤติกรรมประเภทหลังแสดงถึงการสูญเสียกำลังอย่าง

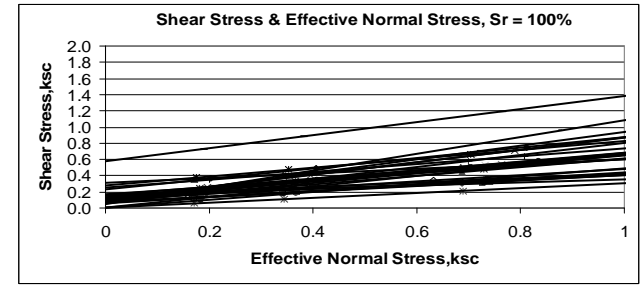
รวดเร็ว ซึ่งอาจเกิดจากการยุบตัวของมวลดิน ดังแสดงในภาพที่ 7 พฤติกรรมดังกล่าวสำคัญอย่างยิ่งต่อการเข้าใจถึงวิธีการเตือนภัยของดินกลุ่มตามประเภทของกลุ่มหินต่างๆ นอกจากนี้จากผลการวิเคราะห์จะเห็นได้อ่ายข้อจนว่า กำลังรับแรงเฉือนของดินที่ผุสลายอยู่กับที่จากหินทุกกลุ่ม จะมีค่ากำลังรับแรงเฉือนค่อนข้างคงที่หลังระดับความอิ่มตัวเกินร้อยละ 90 และยังพบว่าตัวอย่างดินไม่สามารถจะทำให้อัตรารอยเปื้อร์เซนต์ได้ถึงแม้ว่าจะแซดตัวอย่างดินในน้ำไว้เป็นเวลาหลายวัน โดยระดับความอิ่มตัวที่ได้สูงสุดเฉลี่ยอยู่ประมาณร้อยละ 95 จากข้อมูลดังกล่าวทำให้สรุปในเมืองต้นได้ว่าการพินิติของลาดดินหรือการเกิดดินกลุ่มนี้ ดินจะไม่อิ่มตัวร้อยเปื้อร์เซนต์ ดังนั้นในการวิเคราะห์ที่เกี่ยวข้องควรตั้งสมมุติฐานถึงระดับความอิ่มตัวของมวลดินที่ทำให้เกิดดินกลุ่มตามพฤติกรรมดังกล่าว โดยเฉพาะดินกลุ่มประเภทดิน (Shallow Landslide)



ก. ระดับความอิ่มตัว 60%

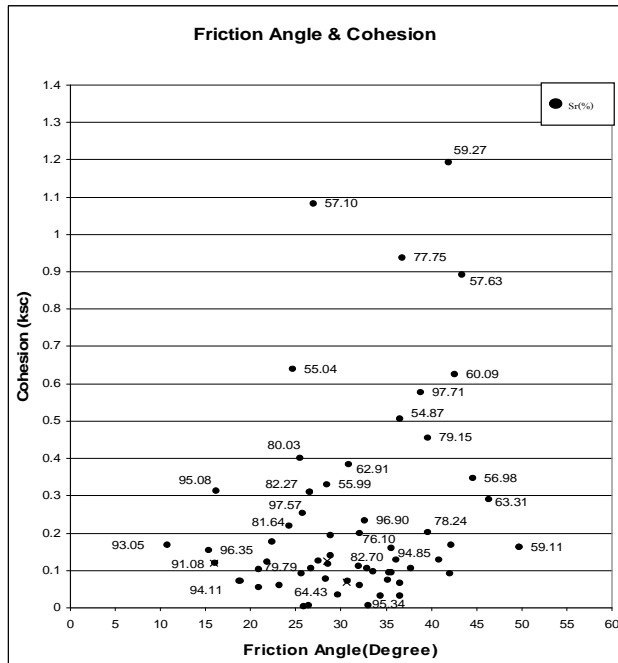


ข. ระดับความอิ่มตัว 80%

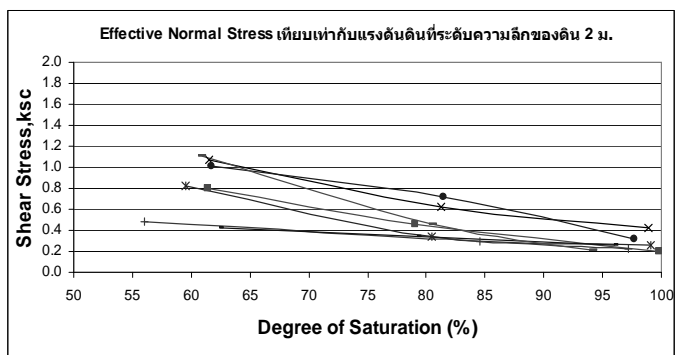


ค. ระดับความอิ่มตัว 100%

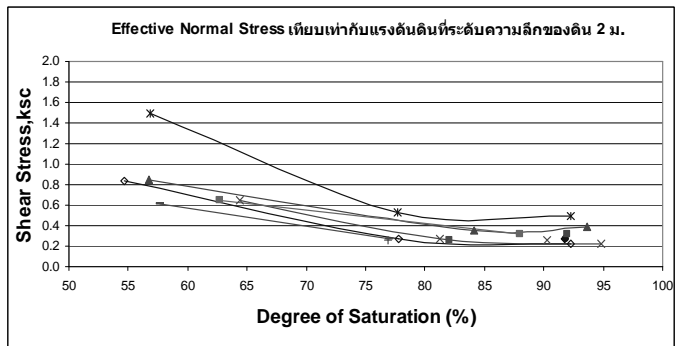
ภาพที่ 5 ผลทดสอบ KU-MDS ของดินที่ผุสลายอยู่กับที่จากหินกลุ่มที่ 3



ก.คินที่ผู้สลายอยู่กับที่จากหินกลุ่มที่ 3

ภาพที่ 6 ความสัมพันธ์ระหว่าง c' และ ϕ' 

ก.การลดลงในอัตราค่อนข้างคงที่ (คินที่ผู้สลายอยู่กับที่จากหินกลุ่มที่ 4)



ข.การลดลงอย่างรวดเร็ว (คินที่ผู้สลายอยู่กับที่จากหินกลุ่มที่ 6)

ภาพที่ 7 พฤติกรรมการลดลงของกำลังรับแรงเนื่อง 2 ลักษณะ

เมื่อนำข้อมูลผลการทดสอบข้างต้นมาหาความสัมพันธ์ในระบบ 3 แกน โดยให้ Z เป็นแกนของกำลังรับแรงเนื่อง Y เป็นแกนของแรงกดทับ และ X เป็นแกนของระดับความอิ่มตัว

จากนั้นาสามารถควบคุมโดยเลือกใช้สมการระนาบในลักษณะ 2 ระนาบต่อ กัน (Bi-Plane Equation) ดังภาพที่ 8 ถึง ภาพที่ 15 และมีรูปแบบความสัมพันธ์เดียวกันตามสมการที่ 1 และ 2

$$\text{สมการระนาบ} \quad Z = Z_0 + bY + aX \quad (1)$$

$$\text{สมการความแข็งแรงของดิน} \quad \tau = \tau_0 + b\sigma' - aS_r \quad (2)$$

τ_0 ค่าคงที่จากการฟิวความสัมพันธ์ในระบบ 3 แกน

a ความชันของความสัมพันธ์ระหว่าง S_r กับ τ

b ความชันของความสัมพันธ์ระหว่าง σ' กับ τ

จากการวิเคราะห์ความสัมพันธ์ในระบบ 3 แกนทำให้สามารถหาสามารถกำลังรับแรงเนื่องสำหรับการนำไปใช้ในการวิเคราะห์และออกแบบตามสภาพความชื้นในมวลดินต่างๆ ของดินที่สลายตัวอยู่กับที่จากหินแต่ละกลุ่มได้ดังสมการที่ 3 ถึง สมการที่ 18 โดยสมการดังกล่าวเป็นสมการ Lower Bound ของระนาบ

$$\text{กลุ่มที่ 1} \quad \tau_1 = 0.8628 + 0.4985\sigma' - 1.0684S_r \quad (3)$$

$$\tau_2 = 0.1891 + 0.3725\sigma' - 0.1046S_r \quad (4)$$

$$\text{กลุ่มที่ 2} \quad \tau_1 = 0.9585 + 0.5976\sigma' - 1.1250S_r \quad (5)$$

$$\tau_2 = 0.6425 + 0.3872\sigma' - 0.6343S_r \quad (6)$$

$$\text{กลุ่มที่ 3} \quad \tau_1 = 0.9627 + 0.8004\sigma' - 1.1835S_r \quad (7)$$

$$\tau_2 = 0.7746 + 0.4570\sigma' - 0.7623S_r \quad (8)$$

$$\text{กลุ่มที่ 4} \quad \tau_1 = 2.1459 + 0.6107\sigma' - 2.4959S_r \quad (9)$$

$$\tau_2 = 0.7432 + 0.5076\sigma' - 0.6902S_r \quad (10)$$

$$\text{กลุ่มที่ 5} \quad \tau_1 = 1.2293 + 0.5253\sigma' - 1.3260S_r \quad (11)$$

$$\tau_2 = 0.7943 + 0.4617\sigma' - 0.7697S_r \quad (12)$$

$$\text{กลุ่มที่ 6} \quad \tau_1 = 1.2394 + 0.6978\sigma' - 1.3625S_r \quad (13)$$

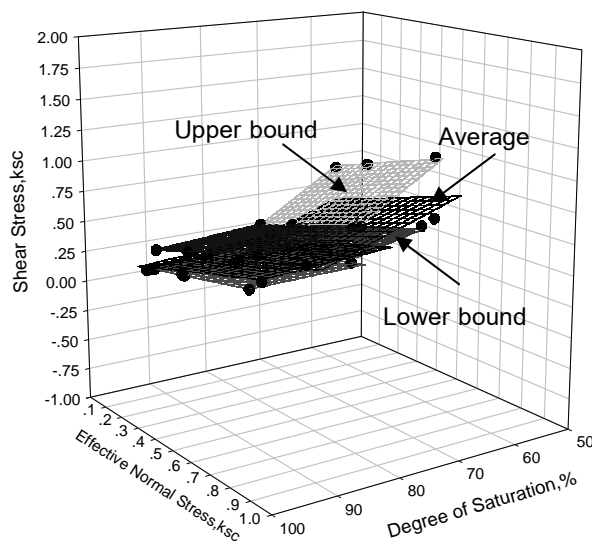
$$\tau_2 = 1.3919 + 0.4263\sigma' - 1.3729S_r \quad (14)$$

$$\text{กลุ่มที่ 7} \quad \tau_1 = 2.0118 + 0.8158\sigma' - 2.5090S_r \quad (15)$$

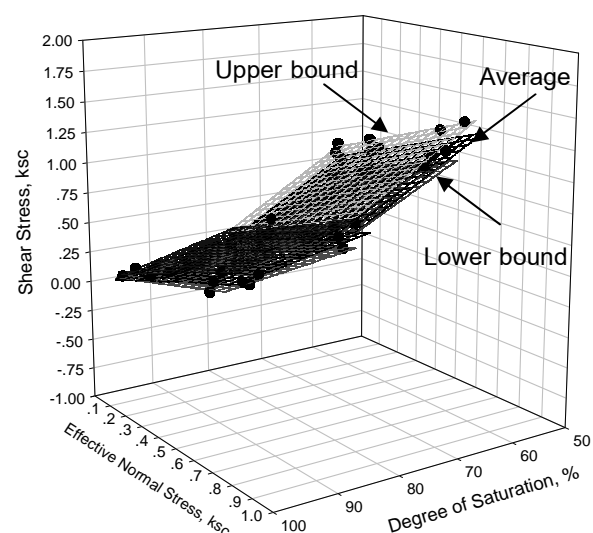
$$\tau_2 = 0.3419 + 0.5960\sigma' - 0.3180S_r \quad (16)$$

$$\text{กลุ่มที่ 8} \quad \tau_1 = 1.3884 + 0.4607\sigma' - 1.6086S_r \quad (17)$$

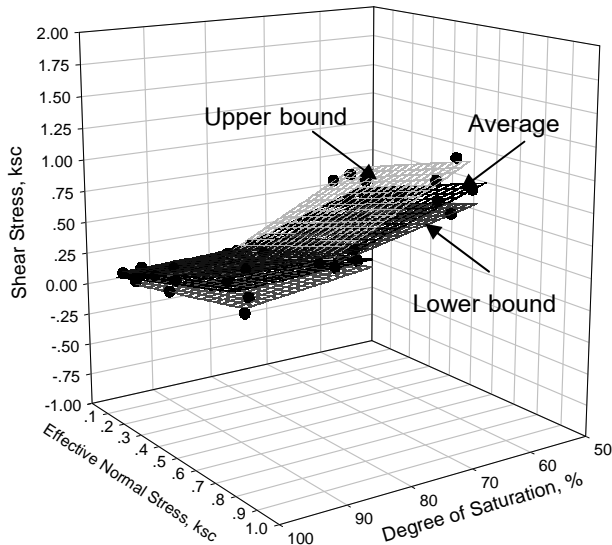
$$\tau_2 = 0.2476 + 0.5349\sigma' - 0.1892S_r \quad (18)$$



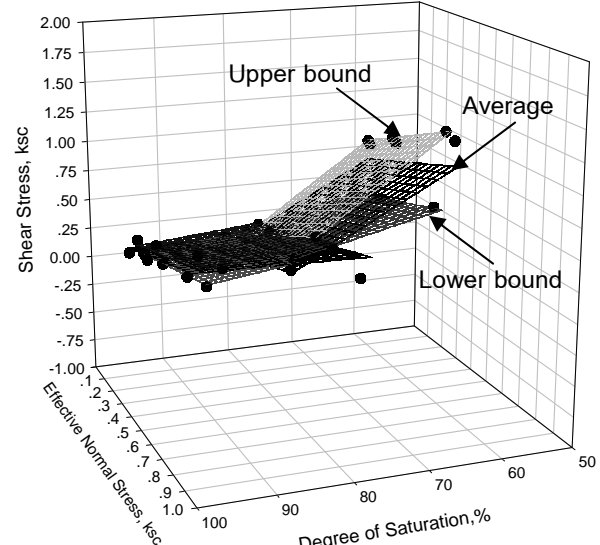
ภาพที่ 8 การเปลี่ยนแปลงกำลังรับแรงเมื่อณาความอิ่มตัว(กลุ่มที่ 1)



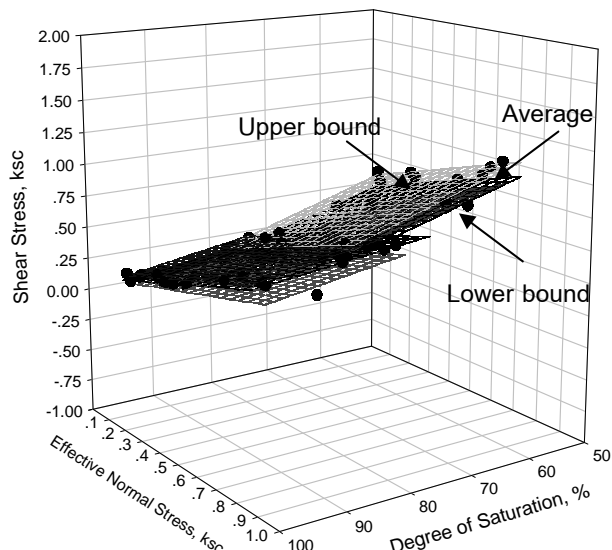
ภาพที่ 11 การเปลี่ยนแปลงกำลังรับแรงเมื่อณาความอิ่มตัว(กลุ่มที่ 4)



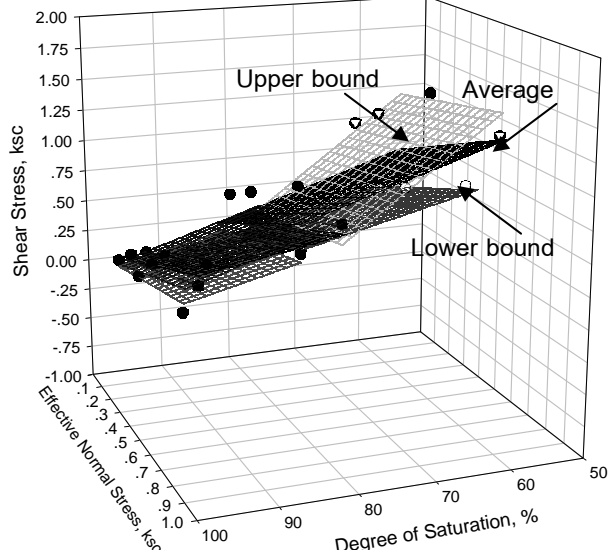
ภาพที่ 9 การเปลี่ยนแปลงกำลังรับแรงเมื่อณาความอิ่มตัว(กลุ่มที่ 2)



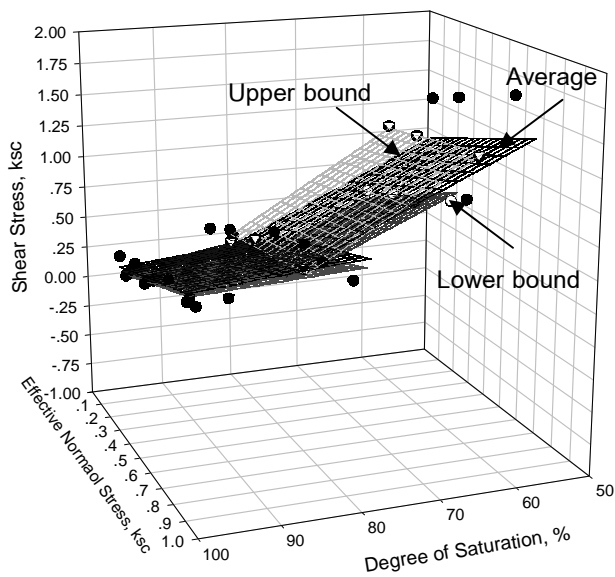
ภาพที่ 12 การเปลี่ยนแปลงกำลังรับแรงเมื่อณาความอิ่มตัว(กลุ่มที่ 5)



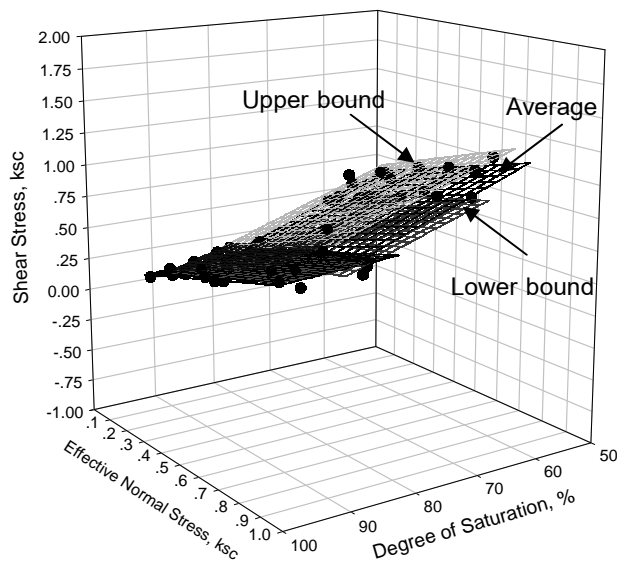
ภาพที่ 10 การเปลี่ยนแปลงกำลังรับแรงเมื่อณาความอิ่มตัว(กลุ่มที่ 3)



ภาพที่ 13 การเปลี่ยนแปลงกำลังรับแรงเมื่อณาความอิ่มตัว(กลุ่มที่ 6)



ภาพที่ 14 การเปลี่ยนแปลงกำลังรับแรงเมื่อตามความอิ่มตัว(กลุ่มที่ 7)



ภาพที่ 15 การเปลี่ยนแปลงกำลังรับแรงเมื่อตามความอิ่มตัว(กลุ่มที่ 8)

ในการวิเคราะห์ความมั่นคงของลักษันหรือการออกแบบทางธารณิวิศวกรรมอื่นๆ เราสามารถทำการคำนวณกำลังรับแรงเมื่อขึ้นของดิน ความอิ่มตัวใดๆ จากสมการความคุณทั้งสองสมการ แล้วพิจารณาเลือกค่าของสมการที่ให้กำลังรับแรงเมื่อที่สูงกว่าเป็นสมการที่ใช้คำนวณเพื่อหาอัตราส่วนความปลดภัย ทั้งนี้ในกรณีที่ต้องการค่าตัวแปรกำลังรับแรงเมื่อขึ้น สำหรับการอุกแบบทางวิศวกรรมปฐพีกรณีดินอิ่มตัว ซึ่งค่า c' และ ϕ' กรณีดินอิ่มตัวอันเป็นกรณีที่ให้ค่ากำลังรับแรงเมื่อขึ้น ตามผลการทดสอบจะสามารถสรุปได้ดังตารางที่ 2

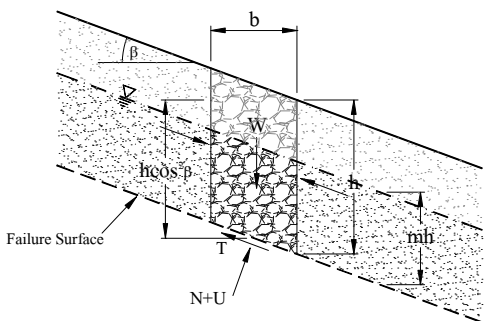
ตารางที่ 2 ค่า c' และ ϕ' ของดินที่ผู้สำรวจจากหินกลุ่มต่างๆ กรณีดินอิ่มตัว

หินต้นกำเนิดของดินที่ผู้สำรวจอยู่กับที่	c' , ksc	ϕ' , Degree
กลุ่ม 1 หินแกรนิตยุคการบ่อน้ำฟอร์ส-เพอร์เมียน	0.085	20.43
กลุ่ม 2 หินแกรนิตยุคกุแรสสิก-ครีเทเชียส	0.008	21.17
กลุ่ม 3 หินแกรนิตยุคกุแรสสิก	0.010	24.56
กลุ่ม 4 หินภูเขาไฟและหินอัคนีอื่นๆ	0.050	26.91
กลุ่ม 5 หินทรายและหินทรายแป้ง	0.025	24.78
กลุ่ม 6 หินดินดานและหินโกลน	0.019	23.09
กลุ่ม 7 หินตะกอนหอยขนาดเกรกสลับชั้น	0.024	30.79
กลุ่ม 8 หินแปร	0.058	28.14

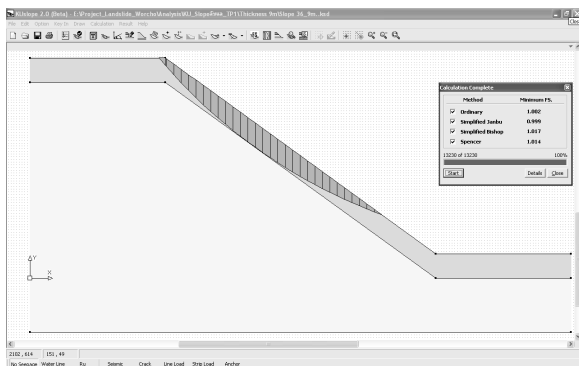
6. การวิเคราะห์เสถียรภาพของลักษันเพื่อจำลองพฤติกรรมดินคล่ม

สำหรับการวิเคราะห์เสถียรภาพของลักษันเพื่อจำลองพฤติกรรมดินคล่ม ได้พิจารณาแบบการพิบัติ 3 รูปแบบ ได้แก่ การพิบัติแบบลากดอนนัต (Infinite slope) โดยใช้การวิเคราะห์แบบจำลองของกำลังรับแรงเมื่อขึ้นประเทตแรงดันประสิทธิผล (Effective Stress Analysis), พิจารณาปริมาณความชื้นมีค่าสมำเสมอเท่ากันทั้งหน้าตัดและระดับน้ำ ให้ดินอยู่ต่ำกว่าผิวน้ำ เคลื่อนพัง ดังสมการที่ 19 และภาพที่ 16, การพิบัติแบบผิวโค้ง (Circular failure) และลักษณะไม่เป็นส่วนโถงของวงกลม (Non-circular failure) การวิเคราะห์ดำเนินการโดยวิธี Limit Equilibrium โดยโปรแกรม KU-Slope 2.0 (รัฐธรรม, 2547) ดังแสดงผลการวิเคราะห์ดังภาพที่ 17 ถึงภาพที่ 18 ผลการวิเคราะห์เสถียรภาพของลักษันทั้ง 3 วิธีสามารถเปรียบเทียบได้ดังภาพที่ 19 ที่แสดงค่าความหนาบริถดิ่ตามความลักษันต่างๆ โดยให้ค่า F.S.=1.0 พบว่าเสถียรภาพของลักษันแบบลากดอนนัตมีค่าความหนาบริถดิ่ต่ำที่สุดซึ่งมีโอกาสเกิดการพิบัติก่อนรูปแบบการพิบัติอื่น ดังนั้นจึงเหมาะสมกับการนำมาวิเคราะห์ความปลอดภัยของลักษันธรรมชาติ นอกจากนี้ลักษณะดังกล่าวจะตรงกับข้อมูลระบบการพิบัติในสถานจากเหตุการณ์ดินคล่มต่างๆ ที่ส่วนใหญ่เกิดการพิบัติในลักษณะดังนี้ตามแนวระนาบของลักษัน

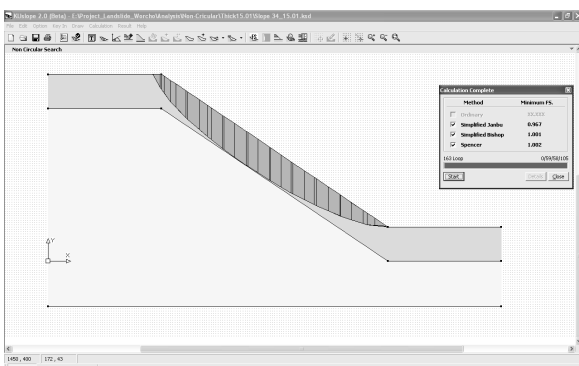
$$F.S. = \frac{c' + h \cos^2 \beta \tan \phi' [(1-m)\gamma' + m(\gamma_{sat} - \gamma_w)] + S_r \tan \alpha}{h \sin \beta \cos \beta [(1-m)\gamma' + m\gamma_{sat}]} \quad (19)$$



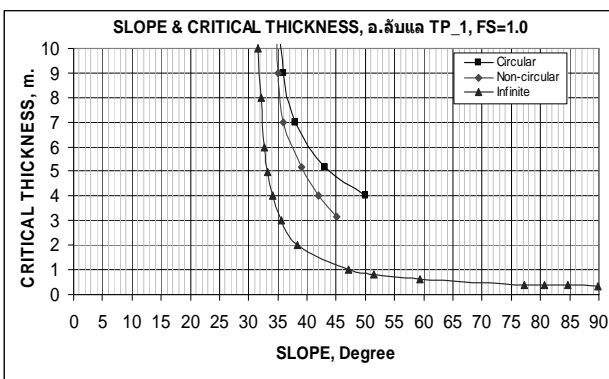
ภาพที่ 16 เส้นยารากของลาดคินแบบ Infinite Slope (บรรพต , 2548)



ภาพที่ 17 เส้นยารากของลาดคินแบบ Circular failure

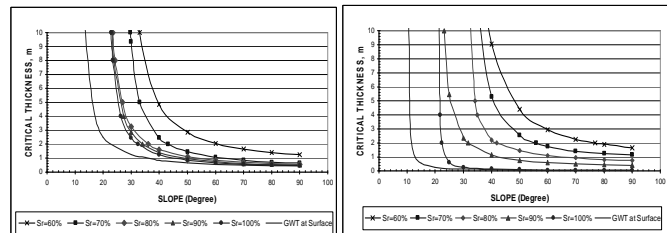


ภาพที่ 18 เส้นยารากของลาดคินแบบ Non-circular failure

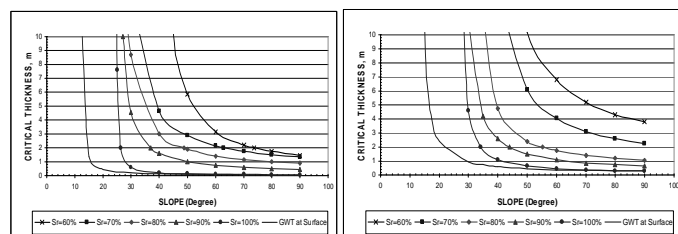


ภาพที่ 19 การเปรียบเทียบค่าความหนาวิกฤติของลาดคินตามลักษณะการพับดีต่างๆ

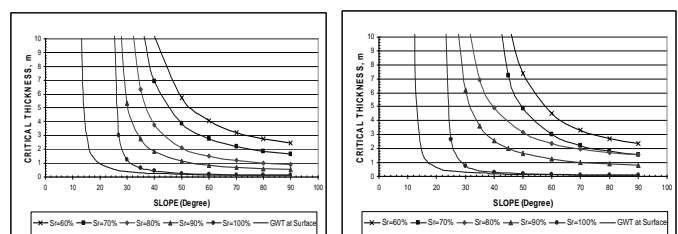
ภาพที่ 20 แสดงผลการวิเคราะห์เส้นยารากของลาดชันแบบลาดคินนั้น ซึ่งดำเนินการวิเคราะห์โดยใช้ค่ากำลังรับแรงเนื่องจากความอิ่มตัวของดินที่ผู้สถาปัตย์กับที่จากกลุ่มหินต่างๆ ดังที่ได้เสนอผลมาแล้ว โดยการวิเคราะห์เป็นการวิเคราะห์แบบ Effective Stress และสมมุติให้ระดับน้ำอยู่ต่ำกว่าระนาบการพับดี ซึ่งผลการวิเคราะห์ทำให้ได้ความหนาวิกฤติ (Critical Thickness) ตามความลาดชันและความอิ่มตัวที่ระดับใดๆ ผลการวิเคราะห์ดังกล่าว จะได้นำไปใช้ในการวิเคราะห์เกณฑ์น้ำฝนเดือนภัย โดยใช้ค่า API หรือค่าความชื้นสะสมในมวลดินต่อไป



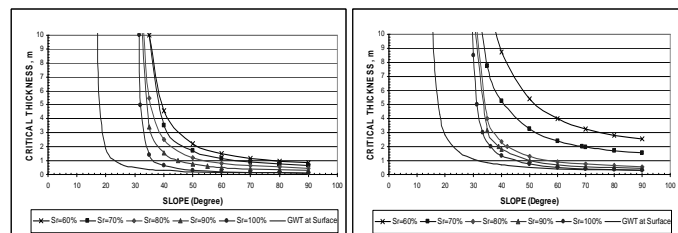
ก.คินที่ผู้สถาปัตย์กับที่(กลุ่มหินที่ 1) ข.คินที่ผู้สถาปัตย์กับที่(กลุ่มหินที่ 2)



ก.คินที่ผู้สถาปัตย์กับที่(กลุ่มหินที่ 3) ข.คินที่ผู้สถาปัตย์กับที่(กลุ่มหินที่ 4)



จ.คินที่ผู้สถาปัตย์กับที่(กลุ่มหินที่ 5) ฉ.คินที่ผู้สถาปัตย์กับที่(กลุ่มหินที่ 6)



ช.คินที่ผู้สถาปัตย์กับที่(กลุ่มหินที่ 7) ฉ.คินที่ผู้สถาปัตย์กับที่(กลุ่มหินที่ 8)

ภาพที่ 20 ความหนาวิกฤติของชั้นดินที่จะเกิดการพับดีตามความลาดชันและระดับความอิ่มตัวใดๆ



6. สรุปผลการศึกษา

ผลการศึกษาข้างต้นสามารถสรุปได้อ่วย่างชัดเจนว่า รูปแบบการเปลี่ยนแปลงกำลังรับแรงเนื่องเมื่อระดับความอิ่มตัวเปลี่ยนไป มีลักษณะเป็นระนาบ 2 ระนาบตัดกันในกราฟ 3 แกน โดยพฤติกรรมการลดลงของกำลังรับแรงเนื่องเมื่อระดับความอิ่มตัวเพิ่มขึ้น มี 2 รูปแบบ อันได้แก่ รูปแบบที่ 1 กำลังรับแรง เนื่องของคินค้อยๆ ลดลงอย่างต่อเนื่องด้วยอัตราการลดลงค่อนข้างคงที่ รูปแบบที่ 2 กำลังรับแรงเนื่องของคินลดลงอย่างรวดเร็วในช่วงต้นของการเพิ่มความชื้น (ช่วง S_r ประมาณร้อยละ 60-80) จากนั้นไปค่ากำลังรับแรงเฉือนค่อนข้างจะคงที่ พฤติกรรมในรูปแบบที่ 2 นี้แสดงถึงพฤติกรรมการยุบตัวของโครงสร้างคินเมื่อความชื้นเปลี่ยนแปลงไป การทราบพฤติกรรมดังกล่าวของคินที่ผสลายอยู่กับที่จากกลุ่มหินชุดต่างๆ มีความสำคัญอย่างยิ่งต่อการนำไปใช้ในการกำหนดเกณฑ์ปริมาณน้ำฝนในการเตือนภัยคินคลื่นรวมถึงวิธีการที่เหมาะสมในการเตือนภัย

นอกจากนี้จากการทดสอบในห้องปฏิบัติการ พบว่า การทำให้คินอิ่มตัวถึงร้อยละ 100 นี้เป็นเรื่องที่ยากมาก ถึงแม้ว่า ตัวอย่างคินจะถูกแช่น้ำนานเพียงใดระดับความอิ่มตัวจะมีค่าเฉลี่ยประมาณร้อยละ 95 ดังนั้นจึงทำให้เห็นภาพว่าพฤติกรรมของคินตามธรรมชาติบนภาคชั้นของผืนดินเพื่อสนับสนุนการเตือนภัยดินคลื่น แตกต่างกันมาก การประชุมวิชาการวิศวกรรมโยธาแห่งชาติ ครั้งที่ 12, จ.พิษณุโลก

7. กิติกรรมประกาศ

ขอขอบพระคุณ กรมทรัพยากรธรรมชาติ, กรมทรัพยากรน้ำ, ศูนย์วิจัยป่าไม้ คณาวิสาสตร์ มหาวิทยาลัยเกษตรศาสตร์ และ ศูนย์วิจัยและพัฒนาวิศวกรรมปฐพีและฐานราก คณาวิสาสตร์ มหาวิทยาลัยเกษตรศาสตร์ สำหรับข้อมูลการวิจัย, คณาวิสาสตร์ มหาวิทยาลัยเกษตรศาสตร์ และสำนักงานคณารมณ์วิจัยแห่งชาติ (วช.) สำหรับการสนับสนุนทุนวิจัย

8. บรรณานุกรม

- [1] นางลักษณ์ ไทยเจียมอารีย์. 2546, เส้นทางพอกลางดินในพื้นที่อุ่มน้ำ ก่อโดยใช้คุณสมบัติทางวิศวกรรม. วิทยานิพนธ์ปริญญาโท, มหาวิทยาลัยเกษตรศาสตร์.
- [2] บรรพต กุลสุวรรณ. 2548, การศึกษาพฤติกรรมการพิบัติของลอดดินในพื้นที่ต้นน้ำของลุ่มน้ำย่อยแม่น้ำจันทบุรี. วิทยานิพนธ์ปริญญาโท, มหาวิทยาลัยเกษตรศาสตร์
- [3] รัฐธรรม อิสโตรพาร. 2547, การพัฒนาโปรแกรมวิเคราะห์เส้นทางของลอดดินด้วยวิธี Generalized Limit Equilibrium. วิทยานิพนธ์ปริญญาโท, มหาวิทยาลัยเกษตรศาสตร์
- [4] สุทธิศักดิ์ ศรีลัมพ์, วรวัชร์ ตอบวัฒน์และวรกร ไม่เรียง. 2550, การทดสอบกำลังรับแรงเฉือนของคินเพื่อสนับสนุนการเตือนภัยดินคลื่น จากฝนตกหนัก. การประชุมวิชาการวิศวกรรมโยธาแห่งชาติ ครั้งที่ 12, จ.พิษณุโลก
- [5] A.C. Waltham 1994. Foundations of Engineering Geology. Civil Engineering Department Nottingham Trent University, 27 p.
- [6] Head, K.H. 1981. Manual of Soil Laboratory Testing. Vol 2. Permeability, Shear Strength and Compressibility Tests. Pentech press Ltd., London.530 p.